

КЭД-эффекты в „атомных“ системах с критическим и закритическим зарядом источников

Роечко Артём Александрович

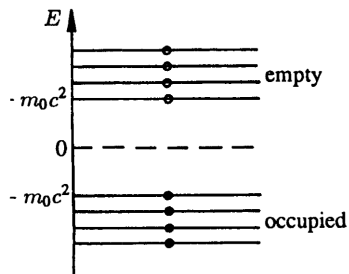
Московский Государственный Университет им. М. В. Ломоносова
Физический факультет
Кафедра квантовой теории и физики высоких энергий

Дубна, 10 мая 2018 г.

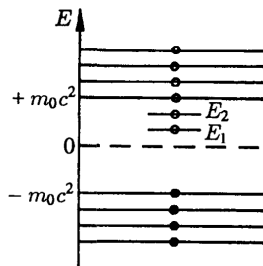
- Введение
- Обзор последних работ
- Непертурбативные вычисления ρ_{VP} , E_{VP}
- Взаимодействие за счёт АММ
- Что дальше?

Уравнение Дирака:

$$E\psi = \left(c\vec{\alpha}(\vec{p} - \frac{e}{c}\vec{A}) + \beta mc^2 + e\Phi \right) \psi \quad (1)$$



(a) $A_\mu^{(ext)} = 0$



(b) $A_\mu^{(ext)} \neq 0$ (слабое поле)

Уравнение Дирака:

$$E\psi = \left(c\vec{\alpha}(\vec{p} - \frac{e}{c}\vec{A}) + \beta mc^2 + e\Phi \right) \psi \quad (2)$$

В поле точечного ядра $U(r) = e\Phi = -\frac{Z\alpha}{r}$ энергия дискретных уровней:

$$E_{n,j} = m \left[1 + \left(\frac{Z\alpha}{n - (j + 1/2) + \sqrt{(j + 1/2)^2 - (Z\alpha)^2}} \right)^2 \right]^{-1/2} \quad (3)$$

При $Z\alpha > 1$ энергия основного состояния $E_{1s} = m\sqrt{1 - (Z\alpha)^2}$ становится мнимой \Rightarrow „проблема $Z = 137$ ”

Уравнение Дирака:

$$E\psi = \left(c\vec{\alpha}(\vec{p} - \frac{e}{c}\vec{A}) + \beta mc^2 + e\Phi \right) \psi \quad (2)$$

В поле точечного ядра $U(r) = e\Phi = -\frac{Z\alpha}{r}$ энергия дискретных уровней:

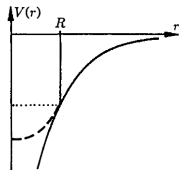
$$E_{n,j} = m \left[1 + \left(\frac{Z\alpha}{n - (j + 1/2) + \sqrt{(j + 1/2)^2 - (Z\alpha)^2}} \right)^2 \right]^{-1/2} \quad (3)$$

При $Z\alpha > 1$ энергия основного состояния $E_{1s} = m\sqrt{1 - (Z\alpha)^2}$ становится мнимой \Rightarrow „проблема $Z = 137$ ”

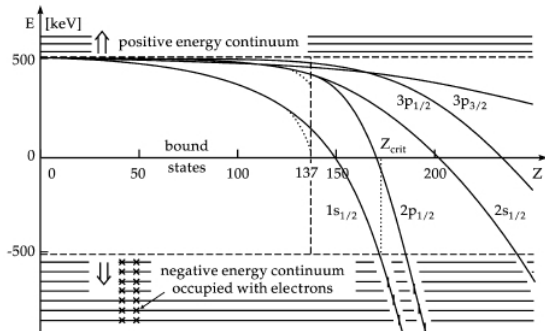
\Downarrow

Учёт конечных размеров ядра:

$$U(r) = e\Phi = -Z\alpha \begin{cases} \frac{1}{R} f\left(\frac{r}{R}\right) & r < R \\ \frac{1}{r} & r > R \end{cases}$$



В работе I. Pomeranchuk и Y. Smorodinsky, J. Phys. USSR **9**, 97 (1945) впервые показано, что для протяженного ядра дискретные уровни в водородоподобном ионе при $Z > 137$ продолжают существовать, и последовательно достигают порога $E = -mc^2$.



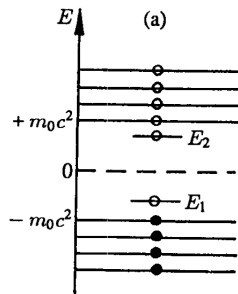
Критический заряд Z_{cr} :

$$E_{1s_{1/2}}(Z_{cr}) = -mc^2$$

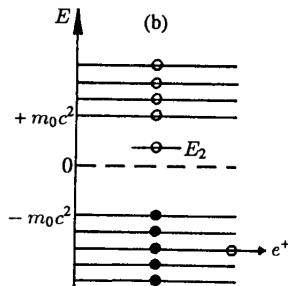
$$Z_{cr} \simeq 170 - 173$$

Для закритической области в работах [С. С. Герштейн и Я. Б. Зельдович, ЖЭТФ **57**, 654 (1969), W. Pieper и W. Greiner, Z. Phys. **218**, 327–340 (1969)] было предсказано рождение вакуумных позитронов при погружении в область $E < -mc^2$ незаполненного электронного уровня.

Для закритической области в работах [С. С. Герштейн и Я. Б. Зельдович, ЖЭТФ **57**, 654 (1969), W. Pieper и W. Greiner, Z. Phys. **218**, 327–340 (1969)] было предсказано рождение вакуумных позитронов при погружении в область $E < -m_0c^2$ незаполненного электронного уровня.



(a) $A_\mu^{(ext)} \neq 0$ (докритическое сильное поле)



(b) $A_\mu^{(ext)} \neq 0$ (сверхкритическое сильное поле)

Для простейшего „квантово-механического“ описания может быть использован формализм Фано. Пусть $Z \lesssim Z_{cr}$:

$$H_0 \phi_0 = E_0 \phi_0, \quad H_0 \Psi_E = E \Psi_E, \quad (4)$$

Добавим возмущение

$$H_0 \rightarrow H = H_0 + V', \quad V' \simeq (Z + Z')U(r) - ZU(r) \propto Z'. \quad (5)$$

Тогда для $Z > Z_{cr}$:

$$(H_0 + V')\tilde{\Psi}_E = E\tilde{\Psi}_E, \quad (6)$$

$$\tilde{\Psi}_E = a(E)\phi_0 + \int dE' b_{E'}(E)\Psi_{E'}. \quad (7)$$

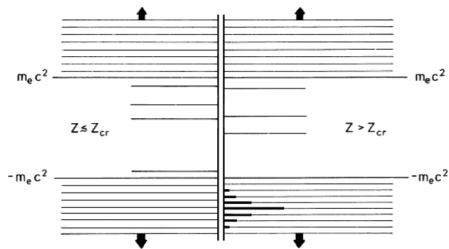
В результате получаем резонансное поведение

$$|\langle \tilde{\Psi}_E | \phi_0 \rangle|^2 = |a(E)|^2 = \frac{1}{2\pi} \frac{\Gamma}{(E - E_r)^2 + \Gamma^2/4}, \quad (8)$$

где

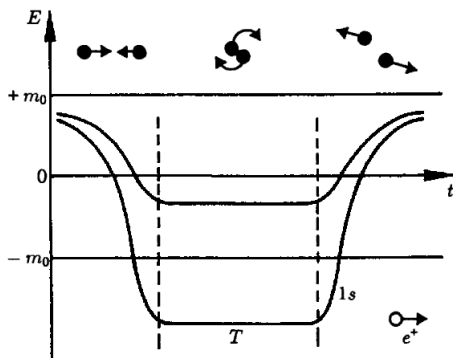
$$\Gamma = 2\pi |\langle \Psi_E | V' | \phi_0 \rangle|^2 \propto Z'^2,$$

$$E_r = E_0 + \langle \phi_0 | V' | \phi_0 \rangle + F(E).$$



При этом

$$\begin{aligned} \Delta\rho(r) &= \rho(Z > Z_{cr}) - \rho(Z \lesssim Z_{cr}) = 2e \left(\int dE \tilde{\Psi}_E^\dagger \tilde{\Psi}_E - \int dE \Psi_E^\dagger \Psi_E \right) = \\ &= \dots = 2e |\phi_0|^2. \end{aligned}$$



По оценкам $\tau \sim 10^{-18} - 10^{-19}$ с, но $T_{coll} \simeq \frac{2R_{cr}}{v} \simeq 0.3 \cdot 10^{-20}$ с.

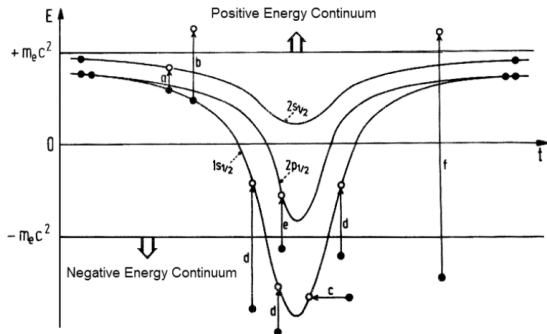


Fig. 15 Schematic representation of pair-production processes in heavy-ion collision as a function of time. We see most tightly bound eigenstates and relevant processes: *a, b*-ionization; *c*-spontaneous and *d, e*-induced vacuum decay, *f*-continuum pair production.

1

¹J. Rafelski, J. Kirsch, B. Müller и др., в *New Horizons in Fundamental Physics*, FIAS Interdisciplinary Science Series (Springer, 2017), с. 211—251, arXiv:1604.08690 [nucl-th, hep-ph, physics:atom-ph].

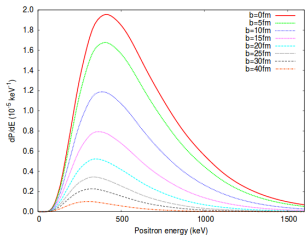


FIG. 1: Positron energy spectrum for the U–U collision at energy $E_{\text{cm}} = 740$ MeV for the different values of the impact parameter b .

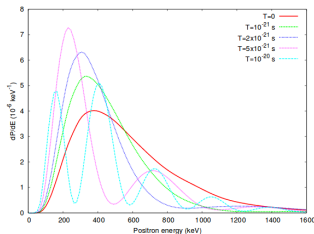


FIG. 5: Positron energy spectrum for the Fr–Fr head-on collision at $E_{\text{cm}} = 674.5$ MeV with different time delays T .

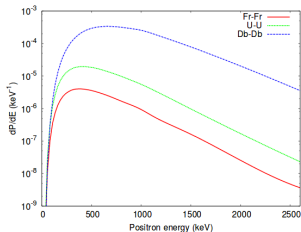


FIG. 2: (Color online) Positron energy spectrum for the Fr–Fr, U–U, and Db–Db head-on collisions at energies 674.5, 740, and 928.4 MeV, respectively.

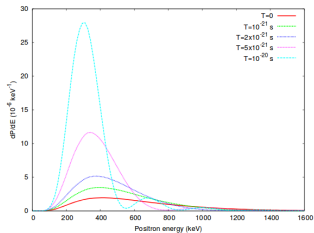


FIG. 6: Positron energy spectrum for the U–U head-on collision at $E_{\text{cm}} = 740$ MeV with different time delays

Расчёты вероятностей ионизации и др. в столкновениях тяжёлых ионов³

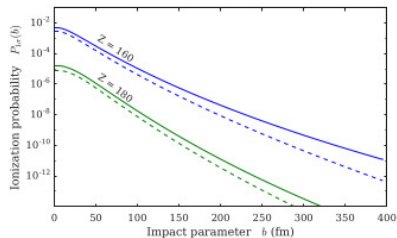


FIG. 5. Impact parameter dependence of the ionization probability. Solid lines show symmetric collisions with $Z = 180$ and $Z = 160$ and dashed lines collisions involving a nucleus with atomic number 118.

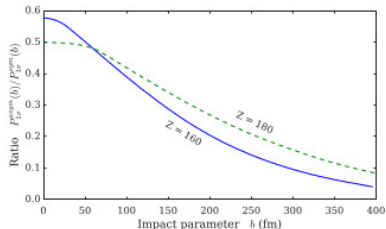


FIG. 6. Ratio $P_{ion}^{asym}(b)/P_{ion}^{sym}(b)$ of the ionization probabilities in asymmetric and symmetric collisions as a function of the impact parameter b . In the asymmetric case the atomic number of the heavy nucleus is set to 118.

³O. Novak, R. Kholodov, A. Surzhykov и др., Phys. Rev. A **97**, 032518 (2018).

Был обнаружен эффект „замерзания“ основного состояния в пределе $B \rightarrow \infty$.⁴

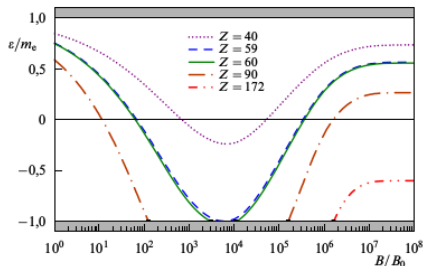


Рис. 5. Зависимость энергии основного уровня от магнитного поля для $Z = 40, 59, 60, 90, 172$. Соответствие между зарядами Z и кривыми указано в надписи на рисунке.

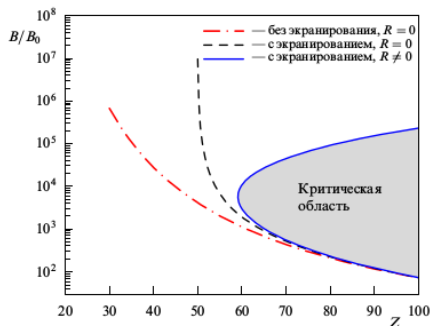


Рис. 6. Значения критического магнитного поля. Штрихпунктирная кривая соответствует формуле (18), штриховая кривая — численным результатам для экранированного потенциала точечного ядра, сплошная кривая — численным результатам с учётом как экранирования, так и конечного размера ядра.

⁴ А. Е. Shabad и V. V. Usov, Phys. Rev. Lett. **98**, 180403 (2007), arXiv:0704.2162 [astro-ph], А. Е. Shabad и V. V. Usov, Phys. Rev. D **D77**, 025001 (2008), arXiv:0707.3475 [astro-ph], S. I. Godunov, B. Machet и M. I. Vysotsky, Phys. Rev. D **85**, 044058 (2012), arXiv:1112.1891 [hep-ph], S. I. Godunov и M. I. Vysotsky, Phys. Rev. D **87**, 124035 (2013), arXiv:1304.7940 [hep-ph], M. I. Vysotskii и S. I. Godunov, Phys. Usp. **57**, 194 (2014).

Полюса S-матрицы⁵

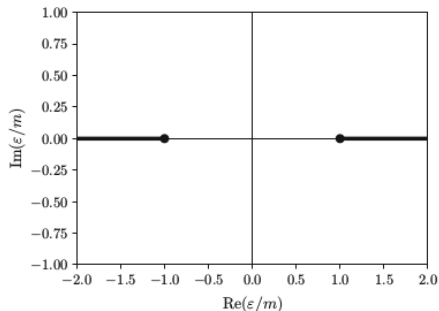


Fig. 1 The plane of complex energy ϵ

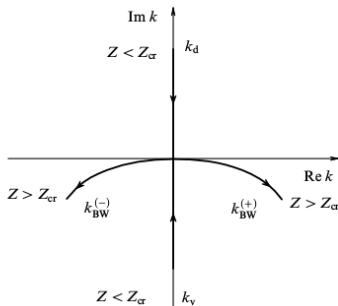


Рис. 3. Движение полюсов S-матрицы в комплексной плоскости $k = \sqrt{\epsilon^2 - 1}$ вблизи границы нижнего континуума $\epsilon = -1$. Стрелками указано направление движения при увеличении заряда Z .

$$\epsilon = -\xi \pm i\gamma,$$

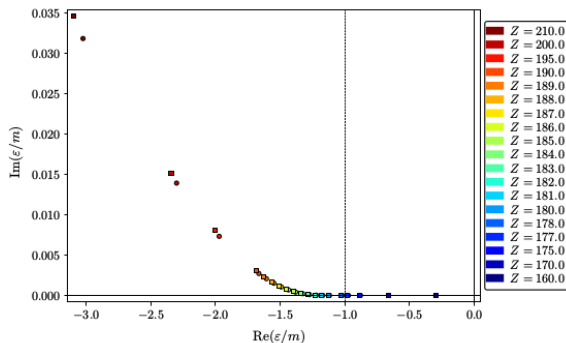
$$k = \mp k_1 - ik_2.$$

(9)

⁵V. M. Kuleshov, V. D. Mur, N. B. Narozhny и др., *Physics-Uspekhi* **58**, 785 (2015),
S. I. Godunov, B. Machet и M. I. Vysotsky, *Eur. Phys. J. C* **77**, 782 (2017), arXiv:1707.07497
[hep-ph].

Полюса S-матрицы

Fig. 3 The dependence of the ground state energy on Z . The square markers are for the exact values of the energy (see (27)) and the round markers are for the approximate ones calculated with the help of (34). The correspondence between color and Z is shown in the legend (the real part of the energy is monotonically decreasing). At $Z = Z_{cr}$ the bound states become resonances with positive $\text{Im}[\epsilon]$

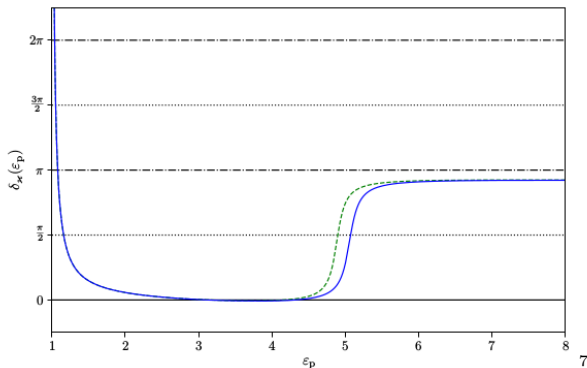


6

$$\epsilon = -\xi + i\gamma. \quad (10)$$

⁶S. I. Godunov, B. Machet и M. I. Vysotsky, Eur. Phys. J. C **77**, 782 (2017), arXiv:1707.07497 [hep-ph].

Fig. 2 Dependence on ε_p of the scattering phase $\delta_{-1}(\varepsilon_p, 232)$ ($Z = 232$ and $\kappa = -1$) for a nucleus with radius $R = 0.031/m$. The blue solid line corresponds to the exact phase, the green dashed line corresponds to the approximate one



$$S = e^{2i\delta_\kappa}. \quad (11)$$

⁷S. I. Godunov, B. Machet и M. I. Vysotsky, Eur. Phys. J. C **77**, 782 (2017), arXiv:1707.07497 [hep-ph].

Вакуумная плотность заряда

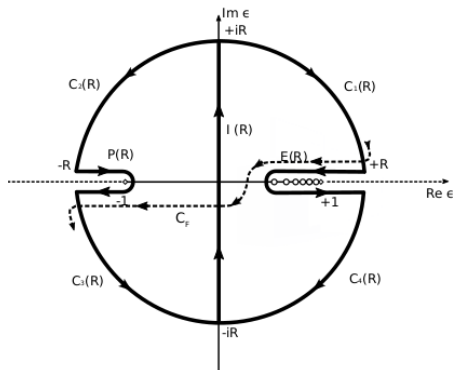
$$\rho_{VP} = \langle j_0 \rangle_{vac} = -\frac{|e|}{2} \left(\sum_{\epsilon_n < -1} \psi_n^\dagger \psi_n - \sum_{\epsilon_n \geq -1} \psi_n^\dagger \psi_n \right). \quad (12)$$

Поскольку формально функция Грина имеет вид

$$G(x, x'; \epsilon) = \sum_n \frac{\psi_n(x) \psi_n(x')^\dagger}{\epsilon_n - \epsilon}, \quad (13)$$

то

$$\rho_{VP} = -\frac{|e|}{4\pi i} \left(\int_{P(R)} + \int_{E(R)} \right) d\epsilon \operatorname{Tr} G(x, x'; \epsilon). \quad (14)$$



$$\rho_{VP} = -\frac{|e|}{4\pi i} \left(\int_{P(R)} + \int_{E(R)} \right) d\epsilon \operatorname{Tr} G(x, x'; \epsilon). \quad (15)$$

В итоге

$$\rho_{VP} = |e| \left(\sum_{-1 \leq \epsilon_n < 0} \psi_n(x)^\dagger \psi_n(x) + \frac{1}{2\pi} \int_{-\infty}^{+\infty} dy \operatorname{Tr} G(x, x; iy) \right). \quad (16)$$

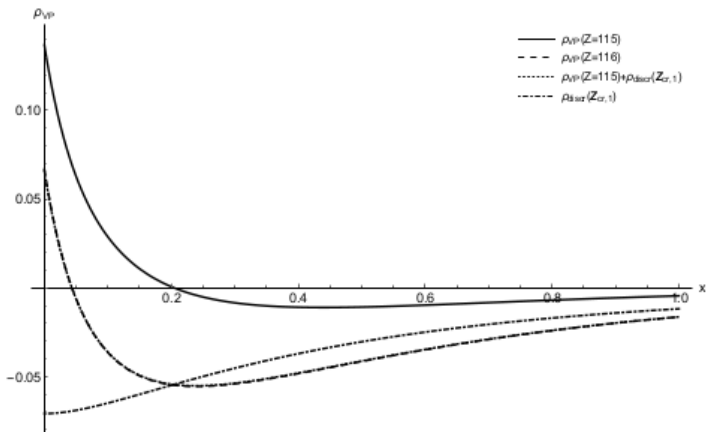
$$G = G_0 + G_0 V G_0 + G_0 V G_0 V G_0 + \dots \quad (17)$$

Расходимость в $G^{(1)}$

$$\rho_{VP}^{(ren)}(x) = \rho_{VP}^{(1)}(x) + \rho_{VP}^{(3+)}(x). \quad (18)$$

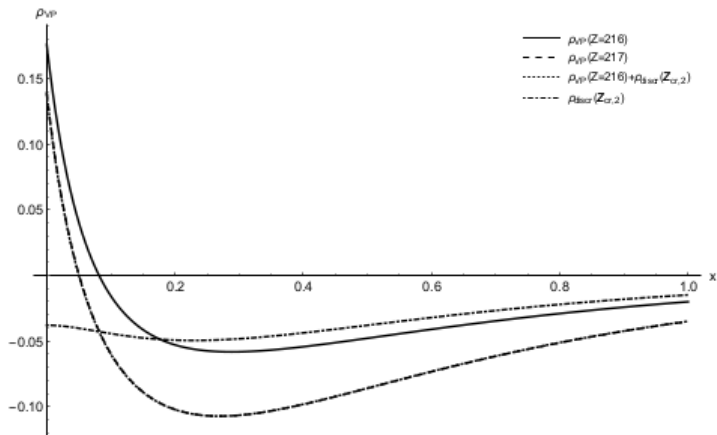
где

$$\rho_{VP}^{(3+)} = |e| \left(\sum_{-1 \leq \epsilon_n < 0} \psi_n(x)^\dagger \psi_n(x) + \frac{1}{2\pi} \int_{-\infty}^{+\infty} dy (\text{Tr} G(x, x; iy) - \text{Tr} G^{(1)}(x, x; iy)) \right), \quad (19)$$



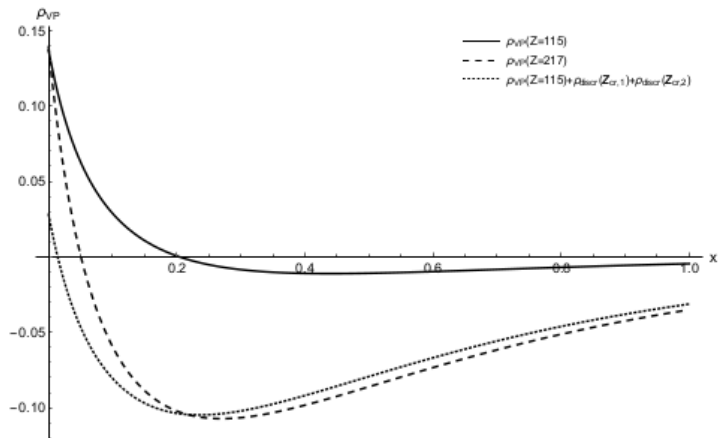
8

⁸ A. Davydov, K. Sveshnikov и Y. Voronina, *Int. J. Mod. Phys. A* **32**, 1750054 (2017), arXiv:1709.04239 [hep-th], Y. Voronina, A. Davydov и K. Sveshnikov, *Theor. Math. Phys.* **193**, 1647–1674 (2017).



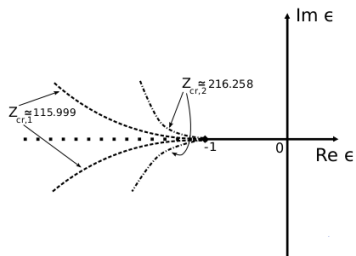
9

⁹ A. Davydov, K. Sveshnikov и Y. Voronina, *Int. J. Mod. Phys. A* **32**, 1750054 (2017), arXiv:1709.04239 [hep-th], Y. Voronina, A. Davydov и K. Sveshnikov, *Theor. Math. Phys.* **193**, 1647–1674 (2017).



10

¹⁰ A. Davydov, K. Svешnikov и Y. Voronina, *Int. J. Mod. Phys. A* **32**, 1750054 (2017), arXiv:1709.04239 [hep-th], Y. Voronina, A. Davydov и K. Svешnikov, *Theor. Math. Phys.* **193**, 1647–1674 (2017).



Т. е. оба полюса при $Z > Z_{cr}$ необходимо учитывать, они компенсируют друг друга.

Разбиение $\rho_{VP} = \rho_{VP}^R + \rho_{VP}^V$, как предполагалось в [J. Rafelski, B. Müller и W. Greiner, Nucl. Phys. B 68, 585–604 \(1974\)](#), вообще говоря, не совсем корректно.

Аналогично вычисляется вакуумная энергия

$$E_{VP} = \frac{1}{2} \left(\sum_{\epsilon_n < -1} \epsilon_n - \sum_{\epsilon_n \geq -1} \epsilon_n \right), \quad (20)$$

которая сводится к интегралу от фаз рассеяния
Например, в $1+1D$ ¹¹

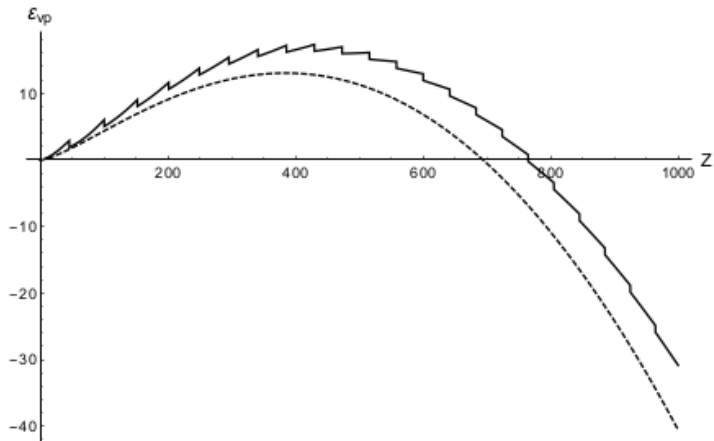
$$E_{VP} = \frac{1}{2\pi} \int_0^\infty \frac{kdk}{\sqrt{k^2 + 1}} \delta_{tot} + \frac{1}{2} \sum_{-1 < \epsilon_n < 1} (1 - \epsilon_n), \quad (21)$$

Для бóльших размерностей добавляется суммирование по каналам¹²

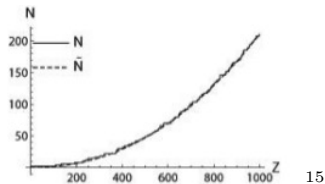
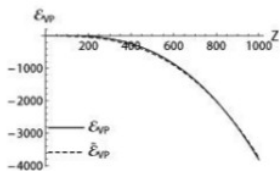
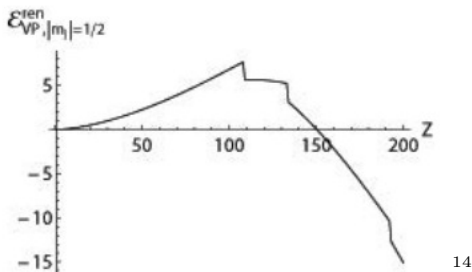
$$E_{VP}^{(ren)}(x) = E_{VP}^{(1)}(x) + E_{VP}^{(3+)}(x). \quad (22)$$

¹¹A. Davydov, K. Svешnikov и Y. Voronina, *Int. J. Mod. Phys. A* **32**, 1750054 (2017), arXiv:1709.04239 [hep-th], Y. Voronina, A. Davydov и K. Svешnikov, *Theor. Math. Phys.* **193**, 1647–1674 (2017).

¹²A. Davydov, K. Svешnikov и Y. Voronina, *Int. J. Mod. Phys. A* **33**, 1850005 (2018), arXiv:1712.02703 [hep-th].



13



¹⁴ A. Davydov, K. Svешnikov и Y. Voronina, *Int. J. Mod. Phys. A* **33**, 1850005 (2018), arXiv:1712.02703 [hep-th].

¹⁵ A. Davydov, K. Svешnikov и Y. Voronina, *Int. J. Mod. Phys. A* **33**, 1850004 (2018), arXiv:1712.02704 [hep-th].

- Непертурбативные вычисления показывают, что поведение E_{VP} при $Z > Z_{cr}$ существенно отличается от предсказаний теории возмущений [A. Davydov, K. Sveshnikov и Y. Voronina, *Int. J. Mod. Phys. A* **32**, 1750054 (2017), arXiv:1709.04239 [hep-th], A. Davydov, K. Sveshnikov и Y. Voronina, *Int. J. Mod. Phys. A* **33**, 1850005 (2018), arXiv:1712.02703 [hep-th]], и E_{VP} даже может конкурировать с E_{Coul} при определённых условиях.
- Возможна ли компенсация эффектов за счёт фермионных петель КЭД-эффектами, обусловленными обменом виртуальными фотонами?

- Взаимодействие ΔU_{AMM} — одна из составляющих эффективного взаимодействия, возникающего за счёт собственно-энергетического вклада в радиационный сдвиг.
- ΔU_{AMM} — локальный оператор, допускает непертурбативный учёт.

В статическом пределе

$$\Delta U_{AMM}^{(0)}(\vec{r}) = \frac{\Delta g}{2} \frac{e}{4m} \sigma^{\mu\nu} F_{\mu\nu}. \quad (23)$$

Взаимодействие ΔU_{AMM} интенсивно исследовалось¹⁶ с целью изучения возможности возникновения резонансов в системах типа e^+e^- , поскольку (23) доминирует на малых расстояниях. Однако¹⁷ АММ электрона возникает в результате радиационных эффектов $\Rightarrow \Delta g \rightarrow \Delta g_{free} c(r)$

¹⁶А. О. Barut и J. Kraus, Phys. Lett. B **59**, 175–178 (1975), А. О. Barut и J. Kraus, Phys. Rev. D **16**, 161–164 (1977).

¹⁷К. Geiger, J. Reinhardt, B. Müller и др., Z. Phys. A - Atomic Nuclei **329**, 77–88 (1988), А. О. Barut, en, Z. Phys. A - Atomic Nuclei **336**, 317–320 (1990).

Однопетлевая поправка к вершинной функции¹⁸

$$\Gamma^\mu(q^2) = \gamma^\mu F_1(q^2) + \frac{i}{2m} F_2(q^2) \sigma^{\mu\nu} q_\nu. \quad (24)$$

Следовательно, эффективный потенциал взаимодействия АММ электрона с кулоновским полем

$$\Delta U_{AMM}(\vec{r}) = \frac{e}{2m} \sigma^{\mu\nu} \partial_\mu \mathcal{A}_\nu^{(cl)}(\vec{r}), \quad (25)$$

где

$$\mathcal{A}_\mu^{(cl)}(\vec{r}) = \frac{1}{(2\pi)^3} \int d\vec{q} e^{i\vec{q}\vec{r}} \tilde{A}_\mu^{(cl)}(\vec{q}) F_2(-\vec{q}^2). \quad (26)$$

¹⁸С. Itzykson и J.-B. Zuber, (McGraw-Hill, 1980).

Для сферически симметричного кулоновского поля $A_{\mu}^{(cl)}(\vec{r}) = \delta_{0,\mu} \Phi(r)$

$$\boxed{\Delta U_{AMM}(r) = -i \lambda \vec{\gamma} \cdot \vec{\nabla} \left(-\frac{Zc(r)}{r} \right)}, \quad (27)$$

где $\lambda = \alpha^2/4\pi m$, $\alpha = e^2/4\pi$, $F_2(0) = \Delta g_{free}/2 \simeq \alpha/2\pi$,

$$c(r) = 2 \int_0^{\infty} q dq \sin qr \left(-\frac{1}{Ze} \tilde{\Phi}(q) \right) \frac{1}{\pi} \frac{F_2(-q^2)}{F_2(0)}. \quad (28)$$

Отметим, что (27) имеет такую же структуру, как и (23)

$$\Delta U_{AMM}^{(0)}(\vec{r}) = -i \lambda \vec{\gamma} \cdot \vec{\nabla} \left(\frac{4\pi\Phi(\vec{r})}{e} \right). \quad (29)$$

Для точечного кулоновского источника вычисления дают¹⁹

$$c_q(r) = 1 - \int_{4m^2}^{\infty} \frac{dQ^2}{Q^2} e^{-Qr} \frac{1}{\pi} \frac{\text{Im} F_2(Q^2)}{F_2(0)}, \quad (30)$$

для протяжённого ядра в виде шара радиуса R

$$c_N(r) = 1 - \int_{4m^2}^{\infty} \frac{dQ^2}{Q^2} \frac{3QR \cosh QR - 3 \sinh QR}{R^3 Q^3} e^{-Qr} \frac{1}{\pi} \frac{\text{Im} F_2(Q^2)}{F_2(0)}, \quad r > R,$$

$$c_N(r) = \frac{(3R^2 - r^2)}{2R^3} r - \frac{r}{2m^2 R^3} + \int_{4m^2}^{\infty} \frac{dQ^2}{Q^2} \frac{3(QR + 1)}{R^3 Q^3} \sinh Qr e^{-QR} \frac{1}{\pi} \frac{\text{Im} F_2(Q^2)}{F_2(0)}, \quad r < R. \quad (31)$$

¹⁹ А. Roenko и К. Svешников, Int. J. Mod. Phys. A **32**, 1750130 (2017), arXiv:1608.04322 [physics.atom-ph].

Уравнение Дирака с дополнительным эффективным взаимодействием имеет вид ($\hbar = c = m = 1$)

$$(\vec{\alpha}\vec{p} + \beta + W(r) + \Delta U_{AMM})\psi = \epsilon\psi. \quad (32)$$

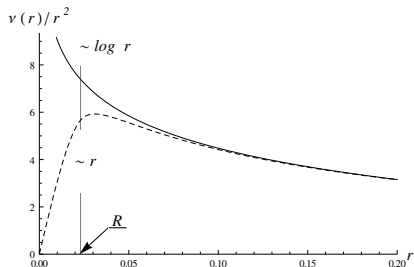
В сферически симметричном случае ($\kappa = \pm(j + 1/2)$)

$$\psi_{\kappa m_j} = \frac{1}{r} \begin{pmatrix} i f_{\kappa}(r) \Omega_{j l m_j} \\ g_{\kappa}(r) \Omega_{j l' m_j} \end{pmatrix}. \quad (33)$$

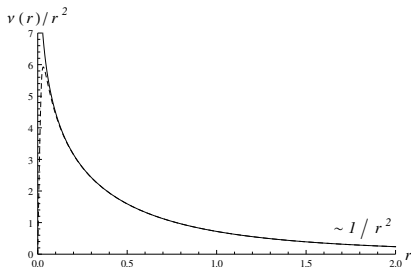
Система уравнений на f_{κ} , g_{κ} имеет вид

$$\begin{aligned} (\partial_r - Z\lambda\nu(r)/r^2 + \kappa/r) f_{\kappa} &= (\epsilon + 1 - W(r))g_{\kappa}, \\ (\partial_r + Z\lambda\nu(r)/r^2 - \kappa/r) g_{\kappa} &= -(\epsilon - 1 - W(r))f_{\kappa}, \end{aligned} \quad (34)$$

где $\nu(r) = c(r) - rc'(r)$. При этом ΔU_{AMM} учитывается непертурбативно не только по $Z\alpha$, но и по α/π , так как α/π входит в λ .



(a)



(b)

Рис.: Поведение члена $\nu(r)/r^2$ в уравнениях (34) на малых а и больших b расстояниях для точечного кулоновского источника (сплошная линия) и протяжённого ядра радиуса R (штрих).

Для точечного источника $\Delta U_{АММ}^{(0)} \sim 1/r^2$, и поведение ВФ в нуле становится экспоненциальным, вместо степенного.

Учёт динамической экранировки АММ электрона даёт $\Delta U_{АММ} \sim \log r$.

- $\Delta U_{АММ}^{(0)}$ в виде (23) становится актуален если АММ фермиона имеет хотя бы частично неэлектромагнитную природу.
- Поэтому последовательный анализ вклада от $\Delta U_{АММ}$ в сверхтяжелых ядрах, в силу его специфики в неэкранированном случае, требует задания структуры ядра как системы точечных (дробных) зарядов, локализованных в его объёме.
- Такой анализ был выполнен, и он показывает²⁰, что непertурбативное вычисление вклада от $\Delta U_{АММ}$ через кварковую структуру и все ядро, рассматриваемое как однородно заряженный протяженный кулоновский источник, приводит к хорошо совпадающим результатам, причем вне зависимости от того, учитывается или нет динамическая экранировка АММ.
- При этом между пертурбативными и непertурбативными подходами имеет место некоторая разница, растущая с Z , особенно заметная в неэкранированном случае.

²⁰ А. Roenko и К. Svешnikov, *Int. J. Mod. Phys. A* **32**, 1750130 (2017), arXiv:1608.04322 [physics.atom-ph], А. Roenko и К. Svешnikov, *Phys. Part. Nucl. Lett.* **15**, 29–42 (2018).

Собственно энергетический сдвиг электронных уровней в водородоподобном ионе представляется в виде²¹

$$\Delta E_{nj}^{SE}(Z\alpha) = \frac{Z^4 \alpha^5}{\pi n^3} F_{nj}(Z\alpha). \quad (35)$$

В пертурбативной КЭД $F_{nj}(Z\alpha)$ найдено²² с высокой точностью для $Z = 1 - 110$. Для $Z = 170$ вычисления с точностью порядка нескольких процентов дают²³

$$\Delta E_{SE}(1s_{1/2}) \simeq 11.0 \text{ кэВ.}$$

При этом сдвиг за счёт ΔU_{AMM} составляет для $1s_{1/2}$ (при $Z = 170$)

$$\Delta E_{AMM}(1s_{1/2}) \simeq 1.118 \text{ кэВ}, \quad \Delta E_{AMM}^{(0)}(1s_{1/2}) \simeq 43.927 \text{ кэВ.} \quad (36)$$

для $2p_{1/2}$ уровня (при $Z = 180$)

$$\Delta E_{AMM}(2p_{1/2}) \simeq -1.052 \text{ кэВ}, \quad \Delta E_{AMM}^{(0)}(2p_{1/2}) \simeq -68.227 \text{ кэВ.} \quad (37)$$

²¹P. J. Mohr, G. Plunien и G. Soff, Phys. Rept. **293**, 227–369 (1998).

²²V. A. Yerokhin и V. M. Shabaev, J. Phys. Chem. Ref. Data **44**, 033103 (2015).

²³К. Т. Cheng и W. R. Johnson, Phys. Rev. A **14**, 1943–1948 (1976), G. Soff, P. Schlüter, B. Müller и др., Phys. Rev. Lett. **48**, 1465–1468 (1982).

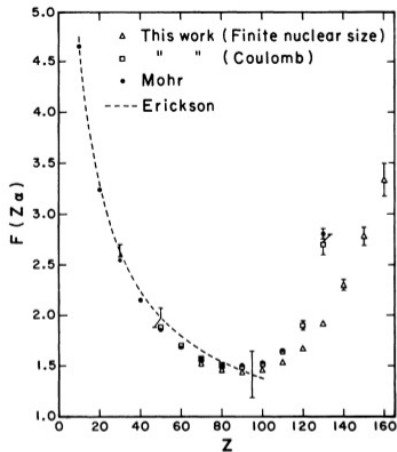


FIG. 2. Values of the function $F(Z\alpha)$ obtained in this calculation and the values of $F(Z\alpha)$ based on the results of Mohr (Ref. 19) and Erickson (Ref. 23).

(a) K. T. Cheng и W. R. Johnson, Phys. Rev. A 14, 1943–1948 (1976)

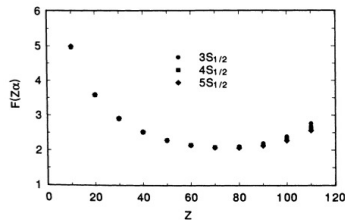


FIG. 1. The function $F(Z\alpha)$ for $S_{1/2}$ states with $n = 3, 4, 5$.

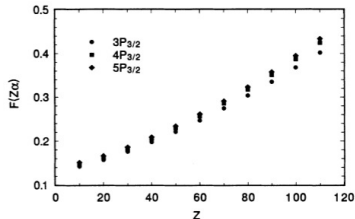
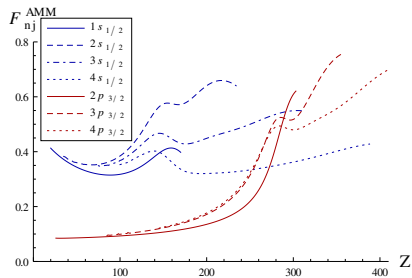
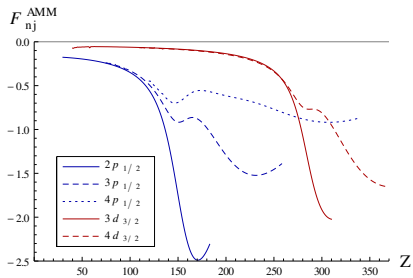


FIG. 3. The function $F(Z\alpha)$ for $P_{3/2}$ states with $n = 3, 4, 5$.

(b) P. J. Mohr и Y.-K. Kim, Phys. Rev. A 45, 2727–2735 (1992)



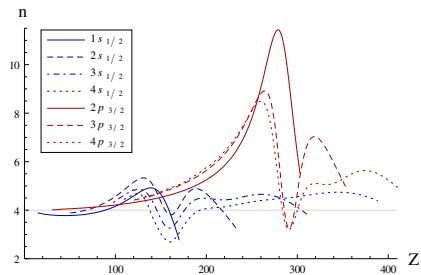
(a)



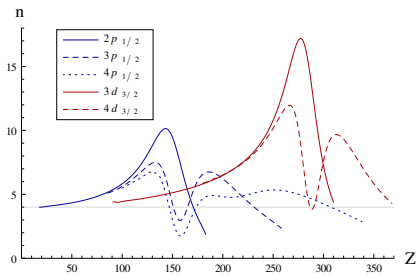
(b)

Рис.: Функция F_{nj}^{AMM} для вклада от ΔU_{AMM} как функция заряда ядра Z для уровней с $n \leq 4$ и $j = 1/2, 3/2$. При этом на рис. а показаны уровни с $j = l + 1/2$, а на рис. б уровни с $j = l - 1/2$.

И хотя ΔE_{AMM} не является доминирующим вкладом в ΔE_{SE} , поведение F_{nj}^{AMM} (с учётом экранировки) для ряда нижних электронных уровней повторяет поведение F_{nj} в области, где для F_{nj} имеются надёжные результаты.



(a)

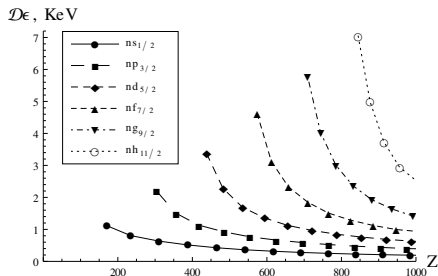


(b)

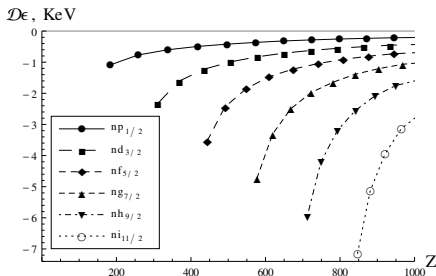
Рис.: Степень роста для вклада от ΔU_{AMM} как функция заряда ядра Z для уровней с $n \leq 4$ и $j = 1/2, 3/2$. При этом на рис. а показаны уровни с $j = l + 1/2$, а на рис. б уровни с $j = l - 1/2$.

Скорость роста $n(Z)$ определяется через логарифмическую производную

$$n(Z) = Z \frac{\partial}{\partial Z} \ln (|\mathcal{D}\epsilon_{AMM}|) . \quad (38)$$



(a)



(b)

Рис.: Сдвиги уровней с различными nj за счёт ΔU_{AMM} , когда они оказываются почти у порога нижнего континуума, в диапазоне $Z_{cr,1s} < Z < 1000$. Отдельные траектории соответствуют уровням с фиксированными четностью и lj . При этом на рис. а показаны уровни с $\kappa < 0$, $j = l + 1/2$, а на рис. б — с $\kappa > 0$, $j = l - 1/2$.

Таблица: Значения $F_{nj}^{AMM}(Z_{cr}\alpha)$ для сдвига за счёт ΔU_{AMM} для уровней с различными nlj на границе нижнего континуума в диапазоне $Z_{cr,1s} < Z < 1000$.

| n | $ns_{1/2}$ | $np_{3/2}$ | $nd_{5/2}$ | $nf_{7/2}$ | $ng_{9/2}$ | $nh_{11/2}$ |
|-----|------------|------------|------------|------------|------------|-------------|
| 1 | 0.398 | 0 | 0 | 0 | 0 | 0 |
| 2 | 0.641 | 0.624 | 0 | 0 | 0 | 0 |
| 3 | 0.551 | 0.764 | 0.736 | 0 | 0 | 0 |
| 4 | 0.431 | 0.722 | 0.805 | 0.809 | 0 | 0 |
| 5 | 0.338 | 0.626 | 0.775 | 0.827 | 0.851 | 0 |
| 6 | 0.272 | 0.529 | 0.706 | 0.797 | 0.844 | 0.886 |
| 7 | 0.223 | 0.449 | 0.624 | 0.740 | 0.807 | 0.859 |
| 8 | 0.187 | 0.384 | 0.549 | 0.671 | 0.754 | 0.814 |
| 9 | 0.159 | 0.333 | 0.483 | 0.606 | 0.695 | 0.763 |
| 10 | 0.137 | 0.292 | 0.427 | 0.544 | 0.638 | – |
| 11 | 0.120 | 0.258 | 0.381 | 0.490 | 0.583 | – |
| 12 | 0.106 | 0.229 | 0.342 | – | – | – |

Таблица: Значения $F_{nj}^{AMM}(Z_{cr}\alpha)$ для сдвига за счёт ΔU_{AMM} для уровней с различными nlj на границе нижнего континуума в диапазоне $Z_{cr,1s} < Z < 1000$.

| n | $np_{1/2}$ | $nd_{3/2}$ | $nf_{5/2}$ | $ng_{7/2}$ | $nh_{9/2}$ | $ni_{11/2}$ |
|-----|------------|------------|------------|------------|------------|-------------|
| 2 | -2.309 | 0 | 0 | 0 | 0 | 0 |
| 3 | -1.393 | -2.031 | 0 | 0 | 0 | 0 |
| 4 | -0.874 | -1.669 | -1.749 | 0 | 0 | 0 |
| 5 | -0.601 | -1.273 | -1.559 | -1.586 | 0 | 0 |
| 6 | -0.442 | -0.969 | -1.318 | -1.447 | -1.486 | 0 |
| 7 | -0.341 | -0.754 | -1.089 | -1.278 | -1.358 | -1.414 |
| 8 | -0.272 | -0.604 | -0.900 | -1.107 | -1.228 | -1.296 |
| 9 | -0.223 | -0.496 | -0.750 | -0.957 | -1.095 | -1.186 |
| 10 | -0.187 | -0.416 | -0.633 | -0.823 | -0.968 | -1.071 |
| 11 | -0.160 | -0.355 | -0.543 | -0.714 | -0.855 | - |
| 12 | -0.138 | -0.307 | -0.472 | -0.624 | - | - |

- Таким образом, величина сдвига электронных уровней в водородоподобном ионе вблизи $\epsilon = -1$ за счёт ΔU_{AMM} убывает (как в абсолютных единицах, так и в единицах $Z^4 \alpha^5 / \pi n^3$) с ростом Z , причём быстрее, чем $1/n^3$, и естественным выглядит предположение, что в закритической области убывание с ростом Z будет иметь место и для всего вклада в сдвиг уровней за счет собственной энергии, а тем самым и для других радиационных КЭД-эффектов с обменом виртуальным фотоном.
- Нелинейный рост вакуумной энергии при $Z \gg Z_{cr}$, в которой основную роль играет вклад от фермионной петли²⁴, тем самым не может быть скомпенсирован вкладом от радиационных поправок.

²⁴ А. Davydov, К. Sveshnikov и Y. Voronina, *Int. J. Mod. Phys. A* **32**, 1750054 (2017), arXiv:1709.04239 [hep-th], Y. Voronina, А. Davydov и К. Sveshnikov, *Theor. Math. Phys.* **193**, 1647–1674 (2017), Y. Voronina, А. Davydov и К. Sveshnikov, *Phys. Part. Nucl. Lett.* **14**, 698–712 (2017).

Двухцентровое уравнение Дирака с $\Delta U_{АММ}$

Непосредственный интерес представляет поведение КЭД-эффектов в процессах столкновения тяжёлых ионов.

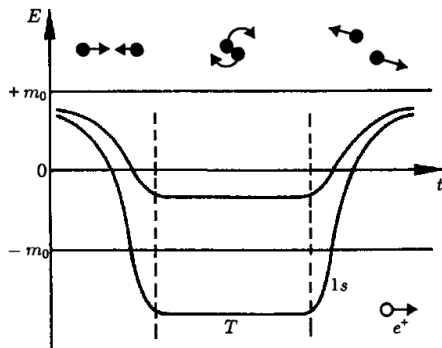


Рис.: W. Greiner и J. Reinhardt, 3rd ed. (Berlin: Springer, 2003)

В частности, задача о решении двухцентрового уравнения Дирака возникает при нахождении критических расстояний R_{cr} . Для низкоэнергетического столкновения тяжёлых ионов можно использовать адиабатическое приближение.

Для компактных ядерных квазимолекул ($d \lesssim 100$ фм) можно использовать разложение электронной волновой функции по сферическим гармоникам и мультипольное разложение двухцентрового потенциала. $W(\vec{r}) = -\alpha U(\vec{r})$

$$\varphi = \sum_{\kappa=\pm 1}^{\pm N} f_{\kappa} X_{\kappa, m_j}, \quad \chi = \sum_{\kappa=\pm 1}^{\pm N} g_{\kappa} X_{-\kappa, m_j}, \quad (39)$$

где $X_{-|\kappa|, m_j} \equiv \Omega_{j l m_j}$ и $X_{|\kappa|, m_j} \equiv (\vec{\sigma} \vec{n}) \Omega_{j l m_j}$

В итоге получаем

$$\begin{aligned} \partial_r f_{\kappa} + \frac{1 + \kappa}{r} f_{\kappa} + \lambda \sum_{\bar{\kappa}} M_{\kappa; \bar{\kappa}}(r) f_{\bar{\kappa}} &= (1 + \epsilon) g_{\kappa} + \alpha \sum_{\bar{\kappa}} N_{-\kappa; -\bar{\kappa}}(r) g_{\bar{\kappa}}, \\ \partial_r g_{\kappa} + \frac{1 - \kappa}{r} g_{\kappa} - \lambda \sum_{\bar{\kappa}} M_{-\kappa; -\bar{\kappa}}(r) g_{\bar{\kappa}} &= (1 - \epsilon) f_{\kappa} - \alpha \sum_{\bar{\kappa}} N_{\kappa; \bar{\kappa}}(r) f_{\bar{\kappa}}, \end{aligned} \quad (40)$$

где

$$\begin{aligned}
 N_{\kappa; \bar{\kappa}}(r) &= \sum_n U_n(r) W_{\zeta}^{\varsigma}(n; l_{\kappa}; l_{\bar{\kappa}}), \\
 M_{\kappa; \bar{\kappa}}(r) &= \sum_n \left(\partial_r + \frac{\kappa - \bar{\kappa}}{r} \right) V_n(r) W_{\zeta}^{\varsigma}(n; l_{\kappa}; l_{\bar{\kappa}}),
 \end{aligned} \tag{41}$$

$$\varsigma = \text{sign}(-\kappa) = \begin{cases} -, & \kappa > 0, \\ +, & \kappa < 0, \end{cases} \quad l_{\kappa} = \begin{cases} \kappa, & \kappa > 0, \\ |\kappa| - 1, & \kappa < 0, \end{cases}$$

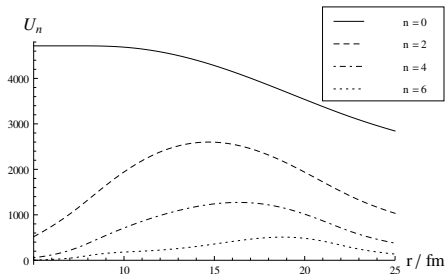
и

$$W_{\zeta}^{\varsigma}(n; l_{\kappa}; l_{\bar{\kappa}}) \equiv \langle X_{\kappa, m_j} | P_n(\cos \vartheta) | X_{\bar{\kappa}, m_j} \rangle.$$

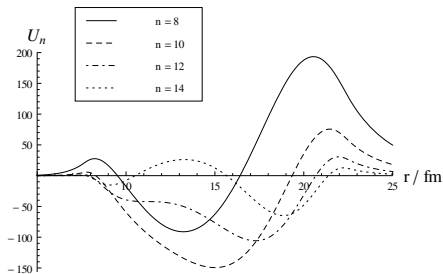
В (41) входят U_n и V_n — мультипольные моменты двухцентровых потенциалов:

$$U(\vec{r}) = \int d\vec{r}' \frac{\rho(\vec{r}')}{|\vec{r} - \vec{r}'|}, \quad \rho(\vec{r}') = \rho_0(\vec{r}' - \vec{a}) + \rho_0(\vec{r}' + \vec{a}) \tag{42}$$

$$V(\vec{r}) = Z \left(\frac{c(|\vec{r} - \vec{a}|)}{|\vec{r} - \vec{a}|} + \frac{c(|\vec{r} + \vec{a}|)}{|\vec{r} + \vec{a}|} \right), \tag{43}$$

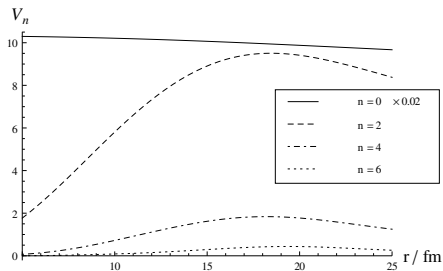


(a)

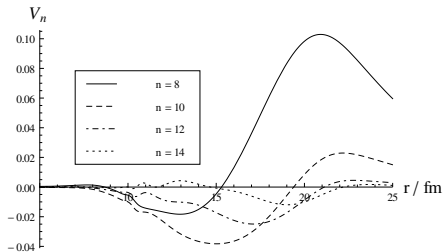


(b)

Рис.: Поведение мультипольных моментов кулоновского потенциала U_n а,б в области $(a - R, a + R)$ в случае двух ядер урана ($Z = 92$, $R \simeq 7.54$ фм) на расстоянии $d = 2a = 30$ фм; на рис. а $n = 0, 2, 4, 6$, на рис. б $n = 8, 10, 12, 14$.



(a)



(b)

Рис.: Поведение мультипольных моментов эффективного взаимодействия за счёт АММ V_n а,б в области $(a - R, a + R)$ в случае двух ядер урана ($Z = 92$, $R \simeq 7.54$ фм) на расстоянии $d = 2a = 30$ фм; на рис. а $n = 0, 2, 4, 6$ (функция V_0 для масштаба уменьшена в 50 раз), на рис. б $n = 8, 10, 12, 14$.

Подробный анализ²⁵ сходимости по κ_{max} показывает, что метод позволяет находить энергию электронных уровней в компактных ядерных квазимолекулах с точностью не хуже 10^{-6} (для $d \sim 100$ фм необходимо $\kappa_{max} \sim 26 - 30$). Для нахождения сдвига с такой же точностью достаточно заметно меньшего числа гармоник ($\kappa_{max} \sim 10$).

Были вычислены значения критических расстояний, которые хорошо согласуются с другими результатами и уточняют результаты монополярного приближения²⁶

²⁵ А. А. Roenko и К. А. Sveshnikov, Phys. Rev. A **97**, 012113 (2018), arXiv:1710.08494 [physics:atom-ph].

²⁶ G. Soff, W. Greiner, W. Betz и др., Phys. Rev. A **20**, 169–193 (1979), К.-Н. Wietschorke, В. Müller, W. Greiner и др., en, J. Phys. B: At., Mol. Phys. **12**, L31 (1979).

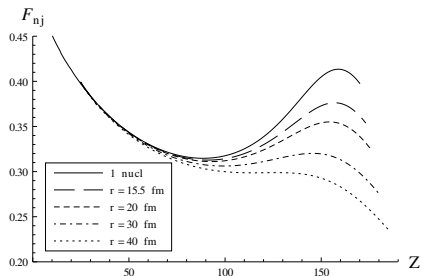
Таблица: Значения R_{cr} для симметричной двухатомной молекулы.

| Z | $R_{cr} (1\sigma_g)$ | $R_{cr} (1\sigma_g, \text{other})$ | | $R_{cr} (1\sigma_u)$ | |
|-----|----------------------|------------------------------------|-------------------|----------------------|-------|
| 87 | 16.20 | 16.42 ^a | 16.0 ^b | | |
| 88 | 19.69 | 19.89 ^a | 19.4 ^b | 19.88 ^c | |
| 89 | 23.27 | 23.38 ^a | 22.9 ^b | | |
| 90 | 26.96 | 26.96 ^a | 26.5 ^b | 26.88 ^c | |
| 91 | 30.78 | 30.90 ^a | 30.3 ^b | | |
| 92 | 34.75 | 34.72 ^a | 34.3 ^b | 34.38 ^c | |
| 93 | 38.85 | 38.93 ^a | 38.4 ^b | | |
| 94 | 43.10 | 43.10 ^a | 42.6 ^b | 42.52 ^c | 15.42 |
| 95 | 47.49 | 47.47 ^a | 47.0 ^b | | 17.82 |
| 96 | 52.01 | 52.06 ^a | 51.6 ^b | 51.07 ^c | 20.25 |
| 97 | 56.68 | 56.77 ^a | 56.3 ^b | | 22.73 |
| 98 | 61.48 | 61.56 ^a | 61.0 ^b | 60.08 ^c | 25.26 |
| 99 | 66.41 | 66.50 ^a | 66.0 ^b | | 27.86 |
| 100 | 71.46 | 71.57 ^a | 71.1 ^b | | 30.53 |

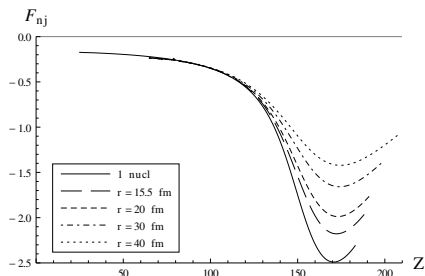
^a работа D. V. Mironova, I. I. Tupitsyn, V. M. Shabaev и др., Chem. Phys. **449**, 10–13 (2015), ^b работа V. I. Lisin, M. S. Marinov и V. S. Popov, Phys. Lett. B **91**, 20–22 (1980), ^c работа A. Marsman и M. Horbatsch, Phys. Rev. A **84**, 032517 (2011).

Таблица: Сдвиг уровней $1\sigma_g$ и $1\sigma_u$ за счёт ΔU_{AMM} для различных значений $Z_\Sigma = 2Z$ и d . Для сравнения приведены сдвиги уровней $1s_{1/2}$ и $2p_{1/2}$ для водородоподобного иона (в кэВ).

| уровень | Z_Σ | 1 ядро | $d = 15.5$ фМ | $d = 20$ фМ | $d = 30$ фМ | $d = 40$ фМ |
|-------------------------------|------------|--------|---------------|-------------|-------------|-------------|
| $1\sigma_g$ ($1s_{1/2}$) | 140 | 0.495 | 0.465 | 0.448 | 0.413 | 0.385 |
| | 150 | 0.690 | 0.635 | 0.603 | 0.545 | 0.500 |
| | 160 | 0.912 | 0.828 | 0.779 | 0.692 | 0.626 |
| | 170 | 1.118 | 1.017 | 0.953 | 0.840 | 0.755 |
| | 173 | — | 1.068 | 1.002 | 0.883 | 0.793 |
| | 176 | — | — | 1.047 | 0.924 | 0.830 |
| | 181 | — | — | — | 0.987 | 0.888 |
| | 186 | — | — | — | — | 0.942 |
| $1\sigma_u$ ($2p_{1/2}$) | 150 | -0.373 | -0.329 | -0.304 | -0.264 | -0.234 |
| | 160 | -0.632 | -0.546 | -0.497 | -0.417 | -0.361 |
| | 170 | -0.875 | -0.763 | -0.696 | -0.580 | -0.498 |
| | 180 | -1.052 | -0.937 | -0.861 | -0.725 | -0.625 |
| | 183 | -1.090 | -0.978 | -0.901 | -0.763 | -0.659 |
| | 188 | — | -1.034 | -0.960 | -0.819 | -0.711 |
| | 191 | — | — | -0.989 | -0.848 | -0.738 |
| | 195 | — | — | — | -0.883 | -0.773 |
| | 199 | — | — | — | -0.912 | -0.802 |
| | 206 | — | — | — | — | -0.843 |



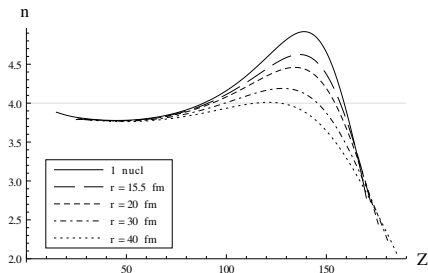
(a)



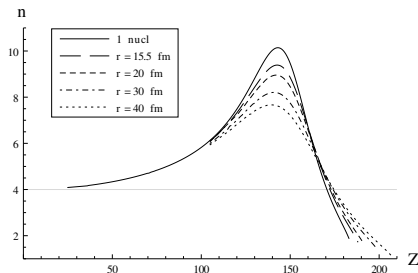
(b)

Рис.: Функция F_{nj}^{AMM} для вклада от ΔU_{AMM} как функция суммарного заряда ядер для электронных уровней $1\sigma_g$ а и $1\sigma_u$ б в двухядерной квазимолекуле в зависимости от Z при фиксированном расстоянии между центрами ядер $r = 15.5, 20, 30, 40$ фм.

Сдвиг электронных уровней вблизи границы нижнего континуума также уменьшается с ростом критического заряда Z_{cr} и соответствующего критического расстояния R_{cr}



(a)



(b)

Рис.: Степень роста для вклада от ΔU_{AMM} как функция суммарного заряда ядер для электронных уровней $1\sigma_g$ а и $1\sigma_u$ б в двухядерной квазимолекуле в зависимости от Z при фиксированном расстоянии между центрами ядер $r = 15.5, 20, 30, 40$ фм.

- 1 Получено выражение для потенциала ΔU_{AMM} эффективного взаимодействия динамически экранированного аномального магнитного момента электрона с кулоновским полем протяжённого ядра.
- 2 Показано, что при непertурбативном вычислении сдвигов электронных уровней за счёт ΔU_{AMM} учёт кварковой структуры сверхтяжёлого протяжённого ядра приводит к тем же результатам, что и приближение равномерно заряженного кулоновского источника. Причём такое совпадение результатов имеет место как для эффективного потенциала с учётом динамической экранировки АММ, так и для потенциала Дирака-Паули, соответствующего статическому пределу малых значений переданного импульса, несмотря на существенно различное поведение дираковских волновых функций для этих случаев.

- 3 Разработан и реализован метод численного решения двухцентрового уравнения Дирака, основанный на использовании разложения электронной волновой функции по сферическим гармоникам, а также мультиполного разложения кулоновского потенциала и дополнительного эффективного взаимодействия ΔU_{AMM} . Показано, что для компактных ядерных квазимолекул ($d \lesssim 100$ фм) данный метод позволяет вычислять как положение электронных уровней, так и величину их сдвига за счёт ΔU_{AMM} с точностью не хуже 10^{-6} (при этом учитывались мультипольные моменты потенциала вплоть до $l_{max} \sim 100$ для некоторых Z).
- 4 Вычислены критические расстояния R_{cr} в симметричных ядерных квазимолекулах $A_2^{(2Z-1)+}$ для уровней $1\sigma_g$ и $1\sigma_u$ в диапазоне $Z \sim 87 - 100$.
- 5 В рамках непертурбативного по $Z\alpha$ и (частично) по α/π подхода показано, что для рассмотренных систем с критическим и закритическим зарядом кулоновских источников сдвиг электронных уровней за счёт ΔU_{AMM} вблизи границы нижнего континуума убывает с увеличением заряда ядер и размеров системы кулоновских источников.

$$\text{Diagram} = \left(\text{Diagram} - \text{Diagram} \right) + \text{Diagram} + \text{Diagram}$$

ΔE_0^{SE} ΔE_1^{SE} $\Delta E_{\text{many}}^{\text{SE}}$

Спасибо за внимание!

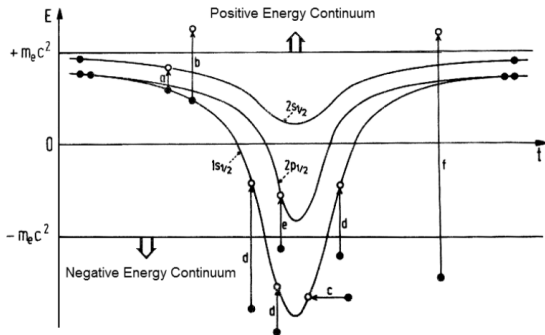


Fig. 15 Schematic representation of pair-production processes in heavy-ion collision as a function of time. We see most tightly bound eigenstates and relevant processes: *a, b*-ionization; *c*-spontaneous and *d, e*-induced vacuum decay, *f*-continuum pair production.

27

²⁷J. Rafelski, J. Kirsch, B. Müller и др., в *New Horizons in Fundamental Physics*, FIAS Interdisciplinary Science Series (Springer, 2017), с. 211–251, arXiv:1604.08690 [nucl-th, hep-ph, physics:atom-ph].

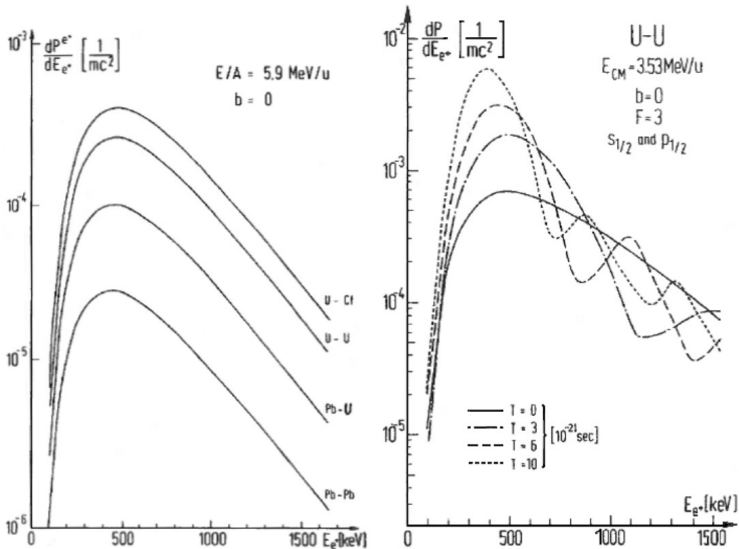


Fig. 16 Positron production spectra in heavy-ion collisions. On left: Coupled channel calculations for 5.9 MeV/u collisions of various systems. On right: example of enhancement generated by nuclear sticking in U-U system with delay times $T = 0; 3 \cdot 10^{-21}; 6 \cdot 10^{-21}; 10^{-20}$ s. For large sticking times T a line due to spontaneous positron production emerges.